礫床網状河川における護岸被害危険度評価

1)広島大学 2)パシフィックコンサルタンツ株式会社 3)名城大学 4)国土交通省中部地方整備局静岡河川事務所

央気2)・坂野 アイカ2)・溝口 龍彦1)・〇松尾 大地1)・吉武 阪上健1)•内田 敦子3)·酒井

研究背景

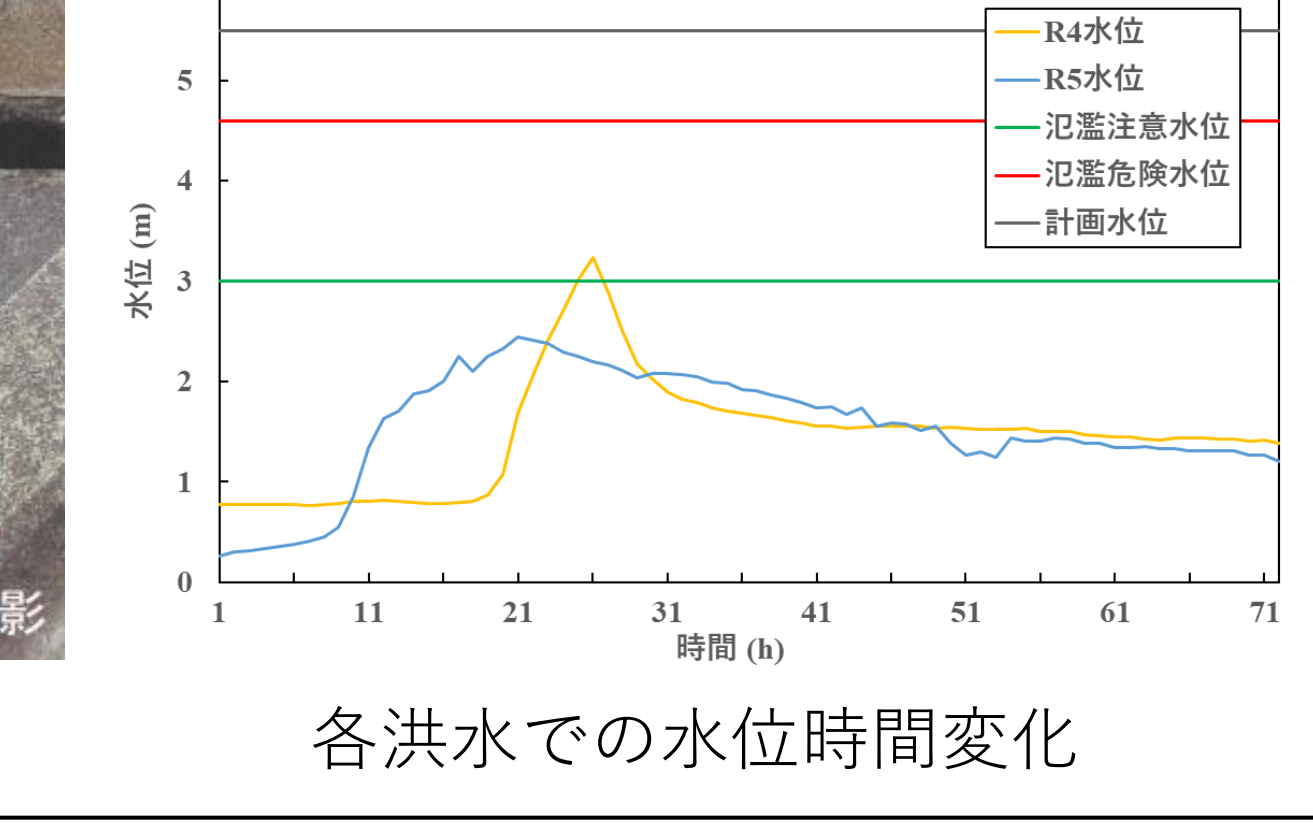
• 流路が分合流を繰り返し複雑に変化 する網状河川においては平均流速場 が空間的に大きく変化しているため, 一 流速鉛直分布の変形も大きい

• 礫床網状河川における適切な河道管 理の実現には流れの三次元性を考慮 した解析による検討が必要

安倍川 (静岡県)

- 令和5年6月1日から3日にかけての出水(R5洪水)で 左岸17.5km付近において護岸被害が確認された
- 前年の令和4年9月に発生した洪水(R4洪水)では ピーク流量がR5洪水よりも大きかったにも関わらず 今回の被災箇所において護岸被災が発生しなかった





R5洪水での護岸被害

目的

- R5洪水の危険度を予見できたのか
- 一礫床網状河川における流量ハイドログラフ,地形情報が河床変動解析に与える影響について検討

<u>F解析手法</u>

·一般底面流速解析(GBVC3)法

流速鉛直分布を三次関数で仮定し、渦度方程式を合わせて解く 底面流速を適切に評価できる

流速鉛直分布

 $u_i' = u_i - U_i = \Delta u_i (12\eta^3 - 12\eta^2 + 1) + \delta u_i (-4\eta^3 + 3\eta^2)$

底面流速式 $u_{bi} = u_{si} - \varepsilon_{ij3}\Omega_{j}h - \frac{\partial Wh}{\partial x_{i}} + w_{s}\frac{\partial z_{s}}{\partial x_{i}} - w_{b}\frac{\partial z_{b}}{\partial x_{i}}$

・乱れ強度

流速鉛直分布を水深積分,乱れの局所平衡と浅い流れを仮定 局所的な三次元流れ場を示す指標

 $k = \frac{4C_h C_\mu}{5C_{\varepsilon}^{\prime 2}} (8\Delta u_i^2 - 7\Delta u_i \delta u_i + 2\delta u_i^2)$

 $C_h = 2.25, \quad C_\mu = 0.09, \quad C'_\varepsilon = 1.7$

粒径観測データと

解析に使用した粒度分布

 u_i :i方向流速, u_i' :i方向流速の偏差成分 U_i :i方向水深平均流速

 u_i : u_{si} - U_i , δu_i : u_{si} - u_{bi} u_{bi} : 方向底面流速, u_{si} : 方向水表面流速

 $\eta = \frac{z_s - z}{b}$, z_s : 水位, z_b : 河床高

解析条件

:15km~21km(被害箇所:17.5km) 格子サイズ:横断約6m, 縦断約7m

地形データ:R4.5計測(LP), R5.1計測(ALB) ^増 :上流→自身で求めたH-Q式

下流→観測水位 (牛妻観測所) :0.03 m (平均粒径) 相当粗度

1 5 9 13 17 21 25 29 33 37 41 45 49 53 57 61 65 69 73 77 81 85

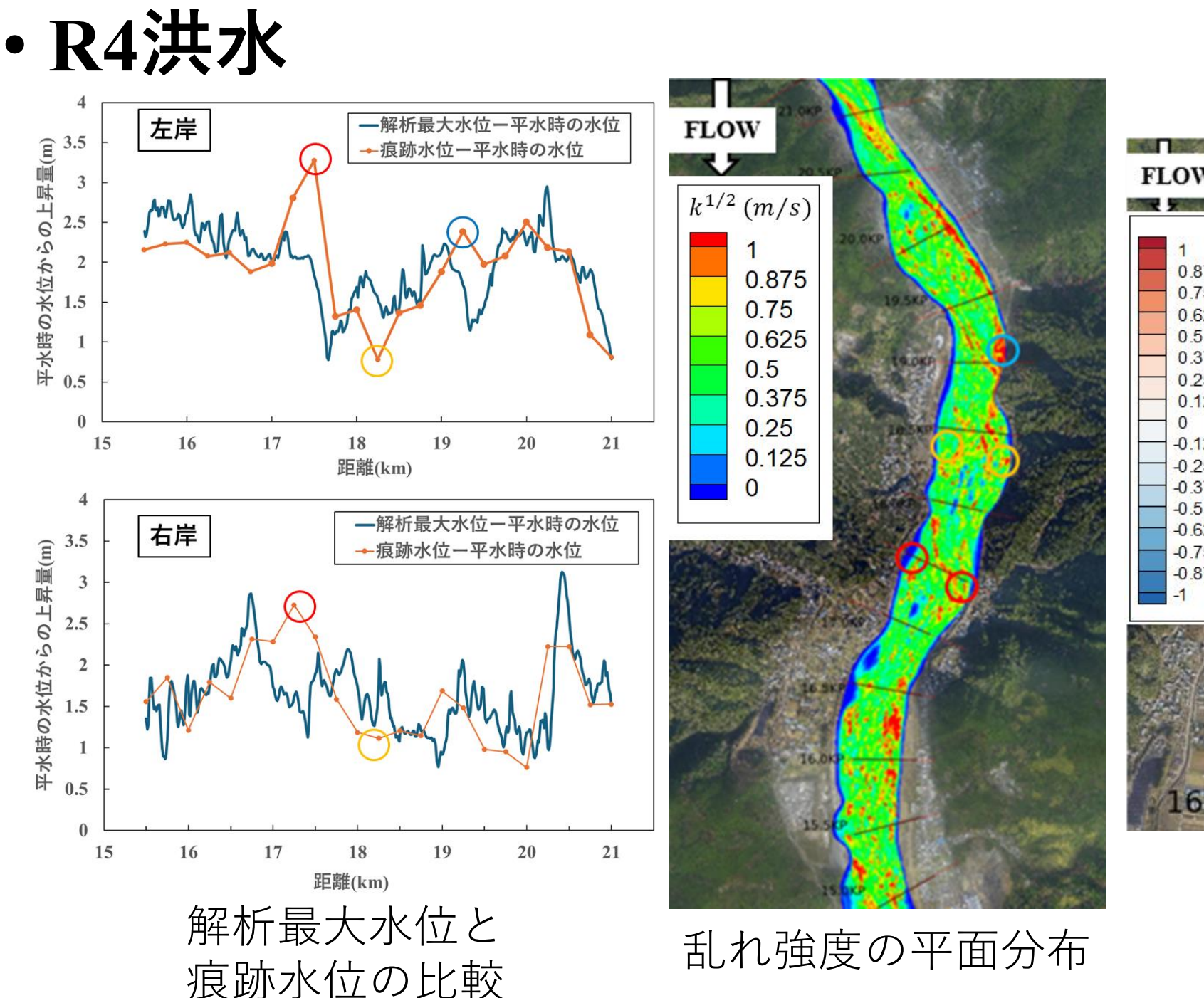
各洪水での流量と累積流量

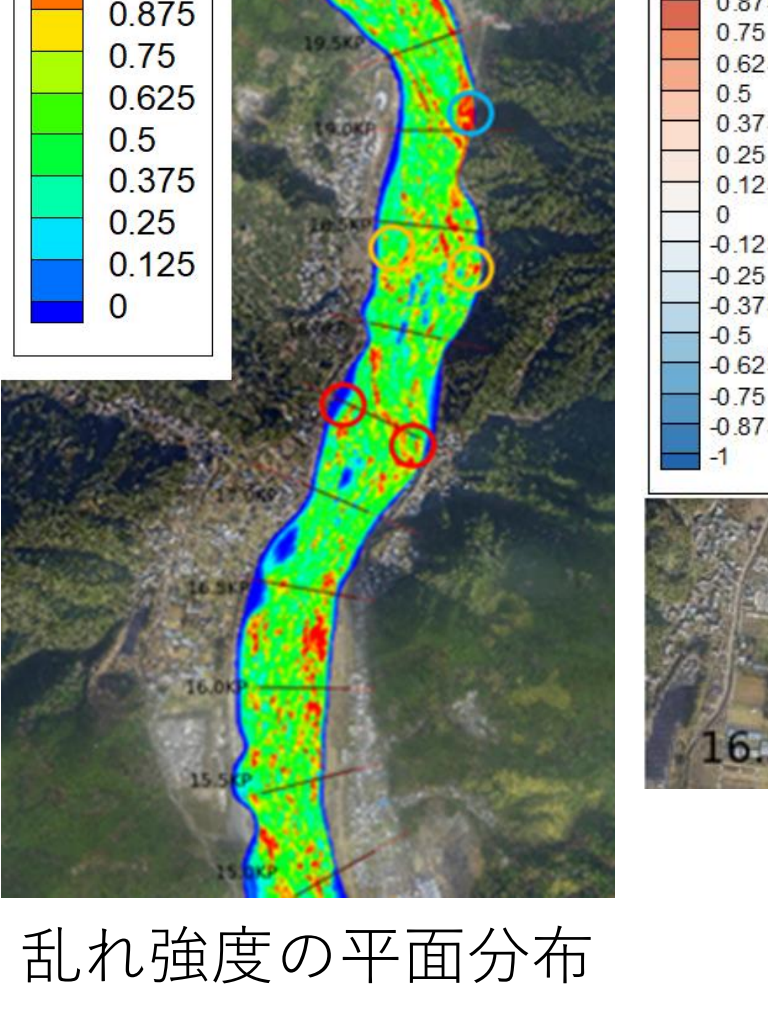
-R5洪水累積流量 -R4洪水累積流量

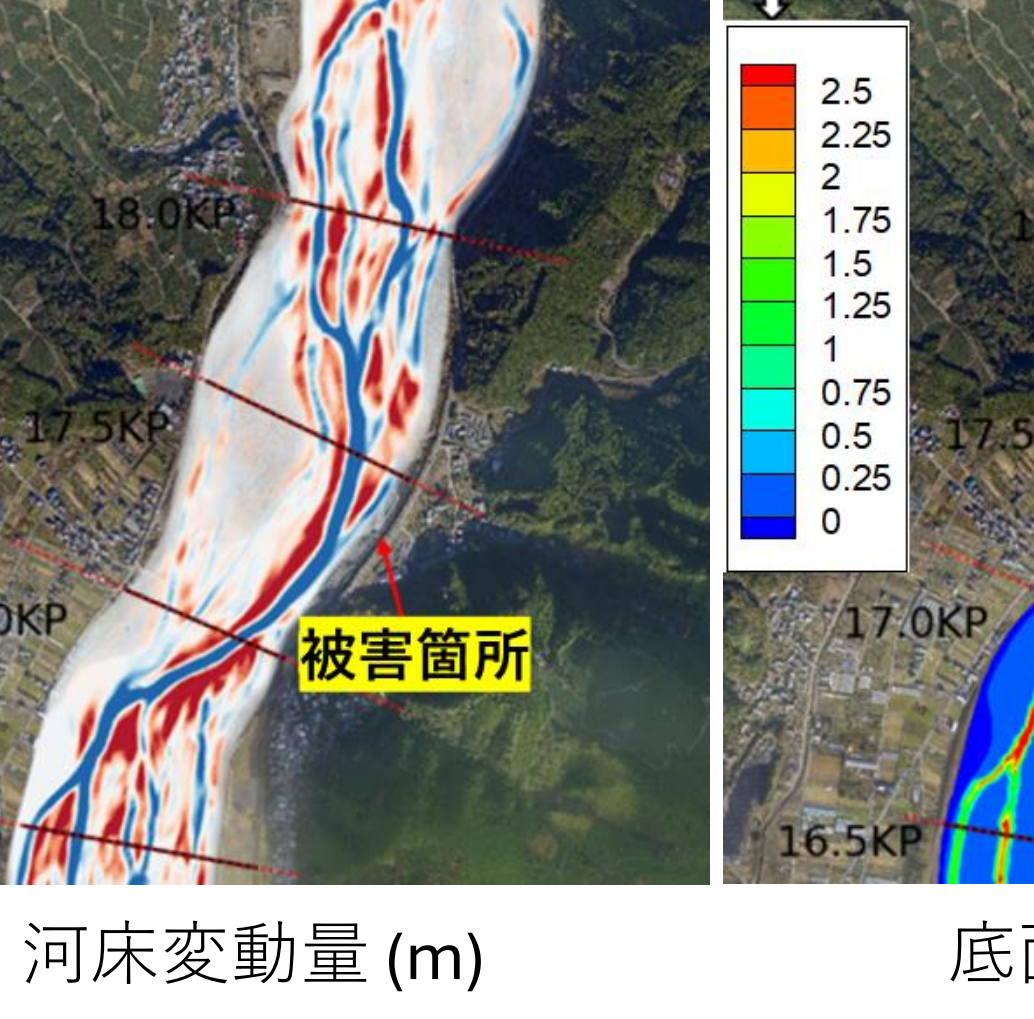
—土砂移動流量

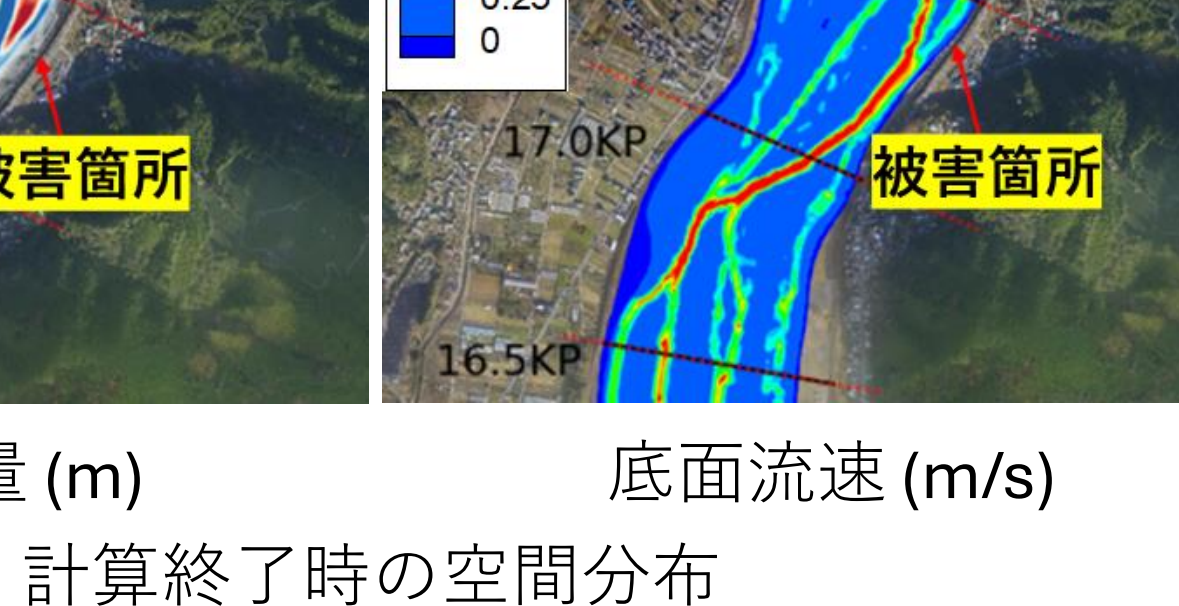
計算格子形状

一各洪水の解析結果





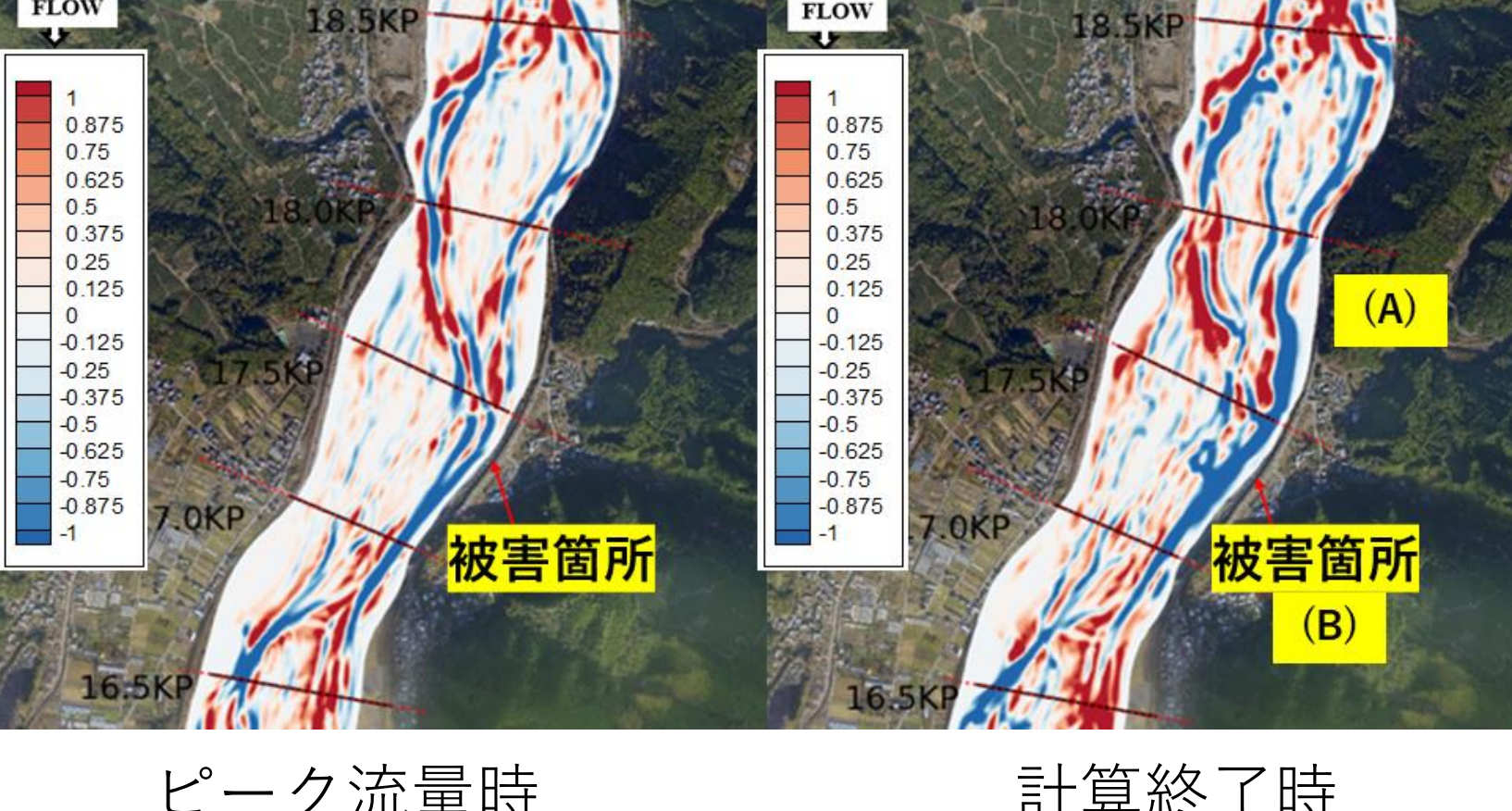


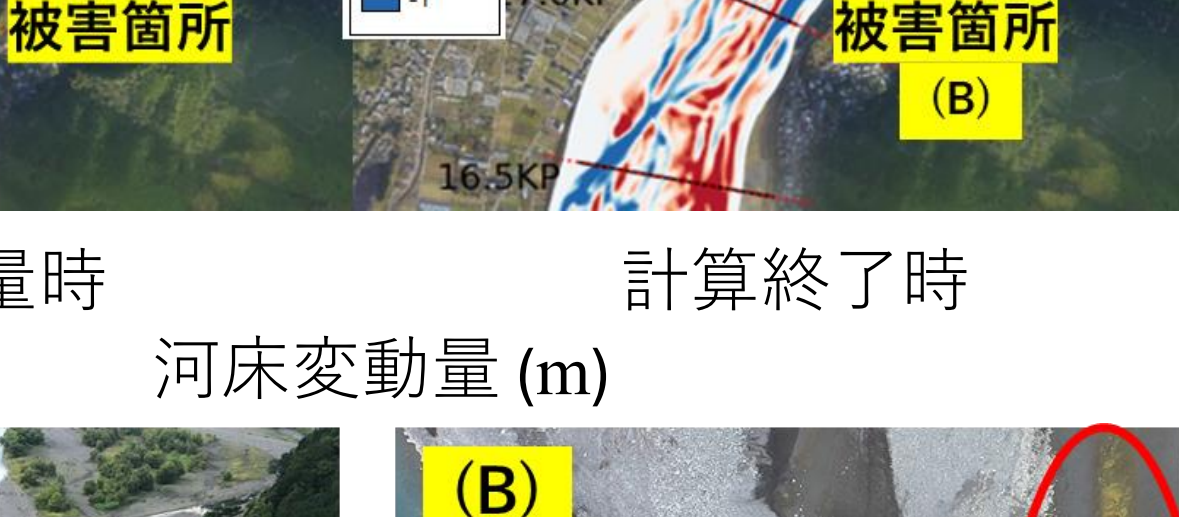


痕跡と解析の差が大きい箇所 では乱れ強度が高く流れの 三次元性による誤差の可能性

被害箇所よりも下流に水衝部が位置 浸食量,底面流速が大きい

• R5洪水







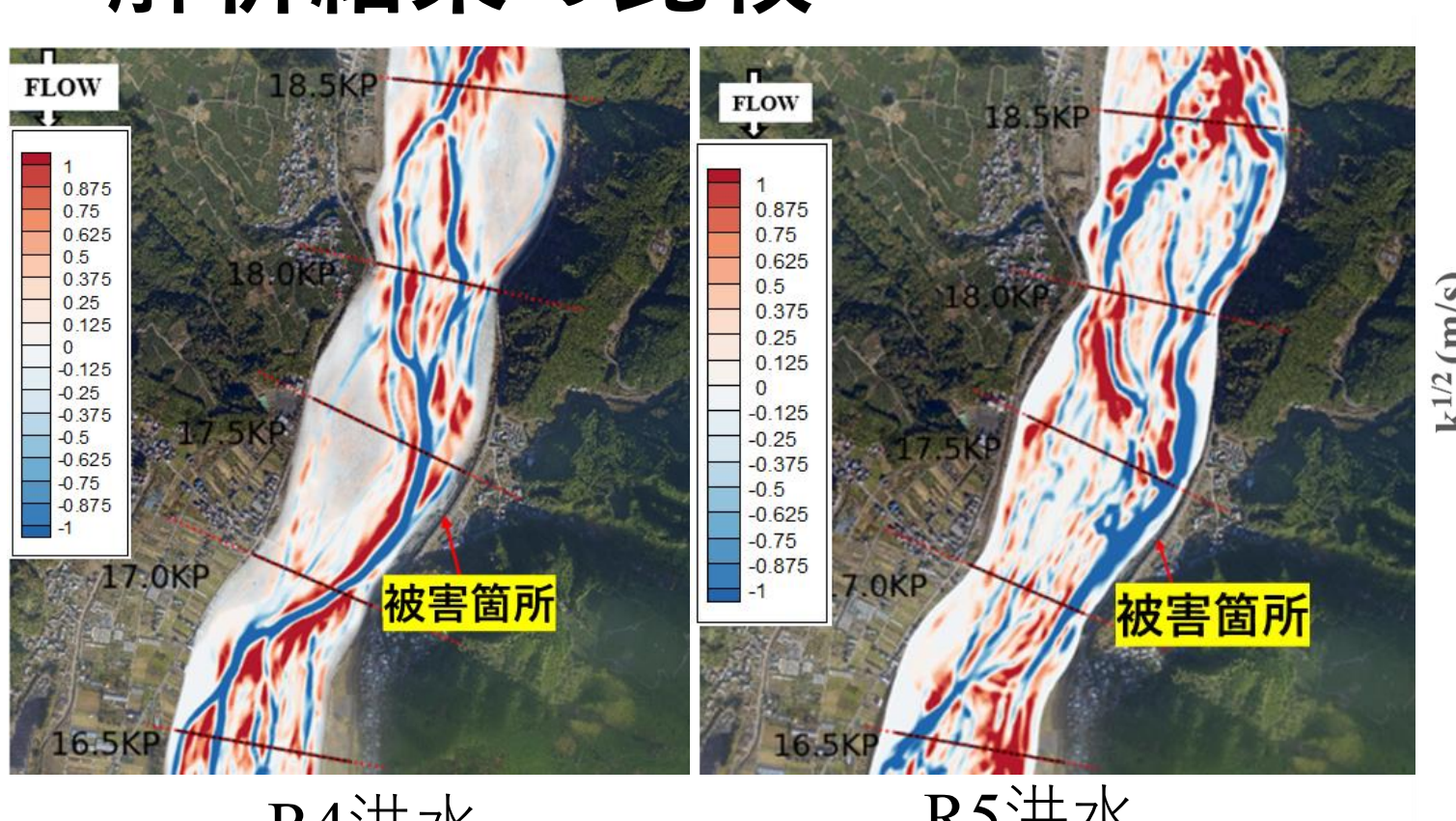
被害箇所付近の河床状況 (R6.7撮影)

ピーク流量時 計算終了時 底面流速分布 (m/s)

- ピーク流量時から計算終了時の間 に被害箇所含む左岸側で大規模な 洗堀が発生
- 低流量時に局所的に水流が集中す る箇所で持続的に土砂が削られた 可能性

R4洪水とR5洪水の比較

・解析結果の比較





- 17.5km地点以外の乱れ強度が 高い箇所で見られた特徴 地点(km) 岩壁区間 一初期地形:R4LP,流量:R4 山付き区間 18.7-18.8 樹木繁茂 特徴 根固めブロックの変状 水制工の摩耗 各洪水での左岸際乱れ強度縦断分布 根固めブロックの変状
- 流路全体が上流側へ移動,被害箇所付近が新たな水衝部に変化
- 被害箇所付近での乱れ強度でもR5洪水の方が高い
- 乱れ強度により護岸被害のポテンシャルが高い箇所を把握することができる

・累積流量の比較

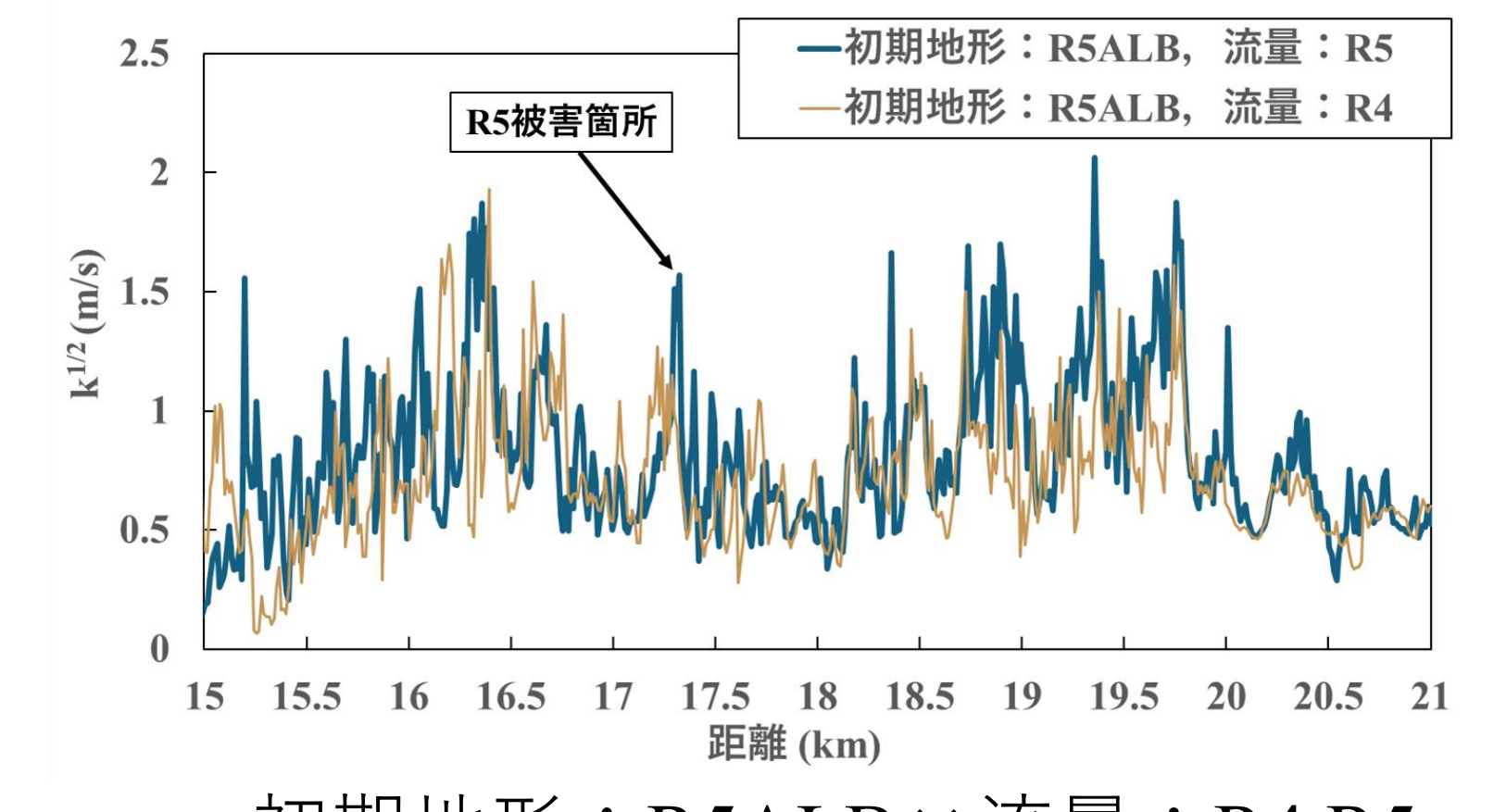
R4洪水 ピーク流量 : 1796m³/s $10.1 \times 10^7 \text{m}^3$

R5洪水 ピーク流量 : 1018m³/s $12.3 \times 10^7 \text{m}^3$

土砂が動き始める流量以上 の時間がR5洪水の方が長く, 被災に至った

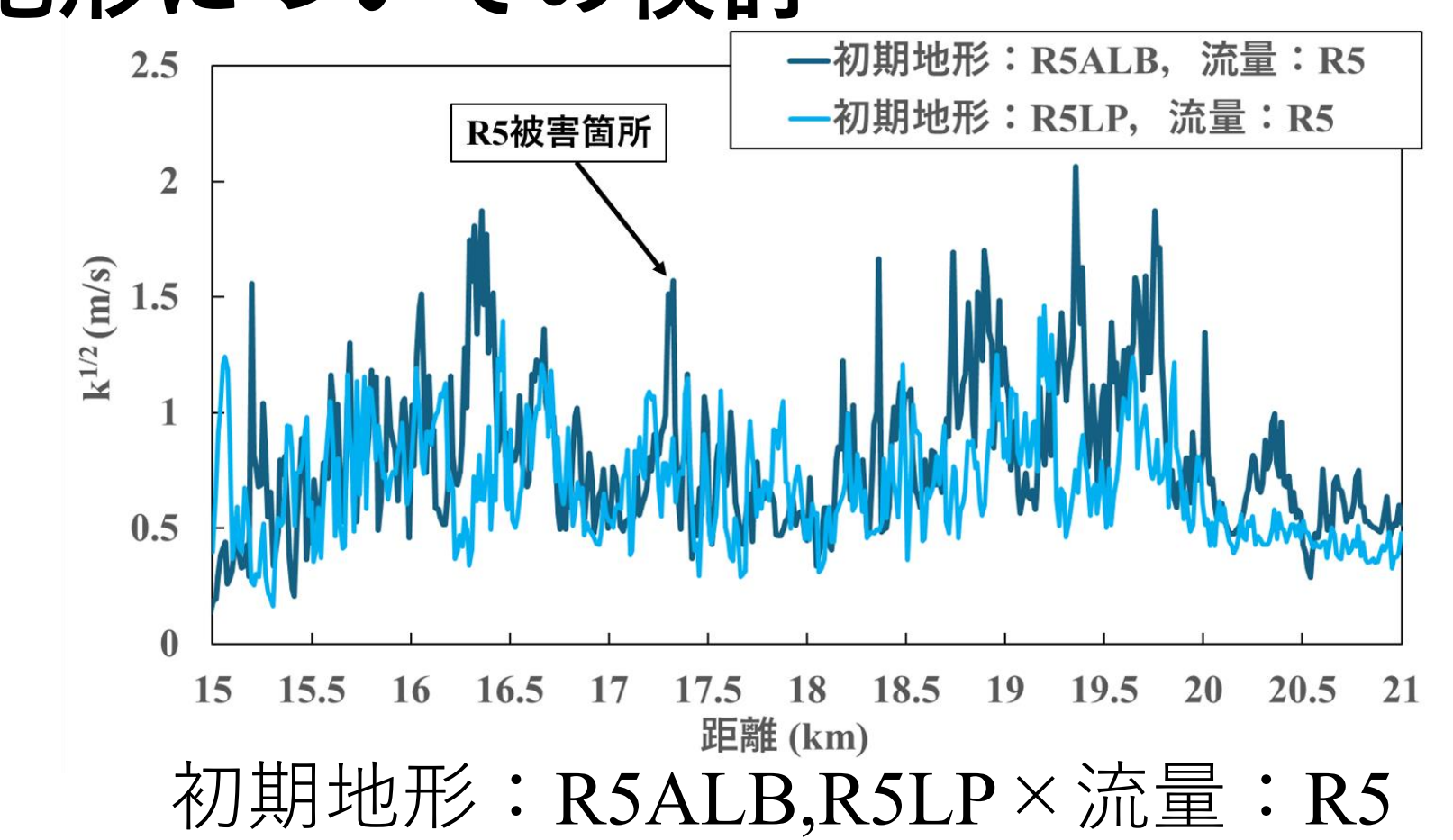
「流量ハイドログラフ・初期地形による影響

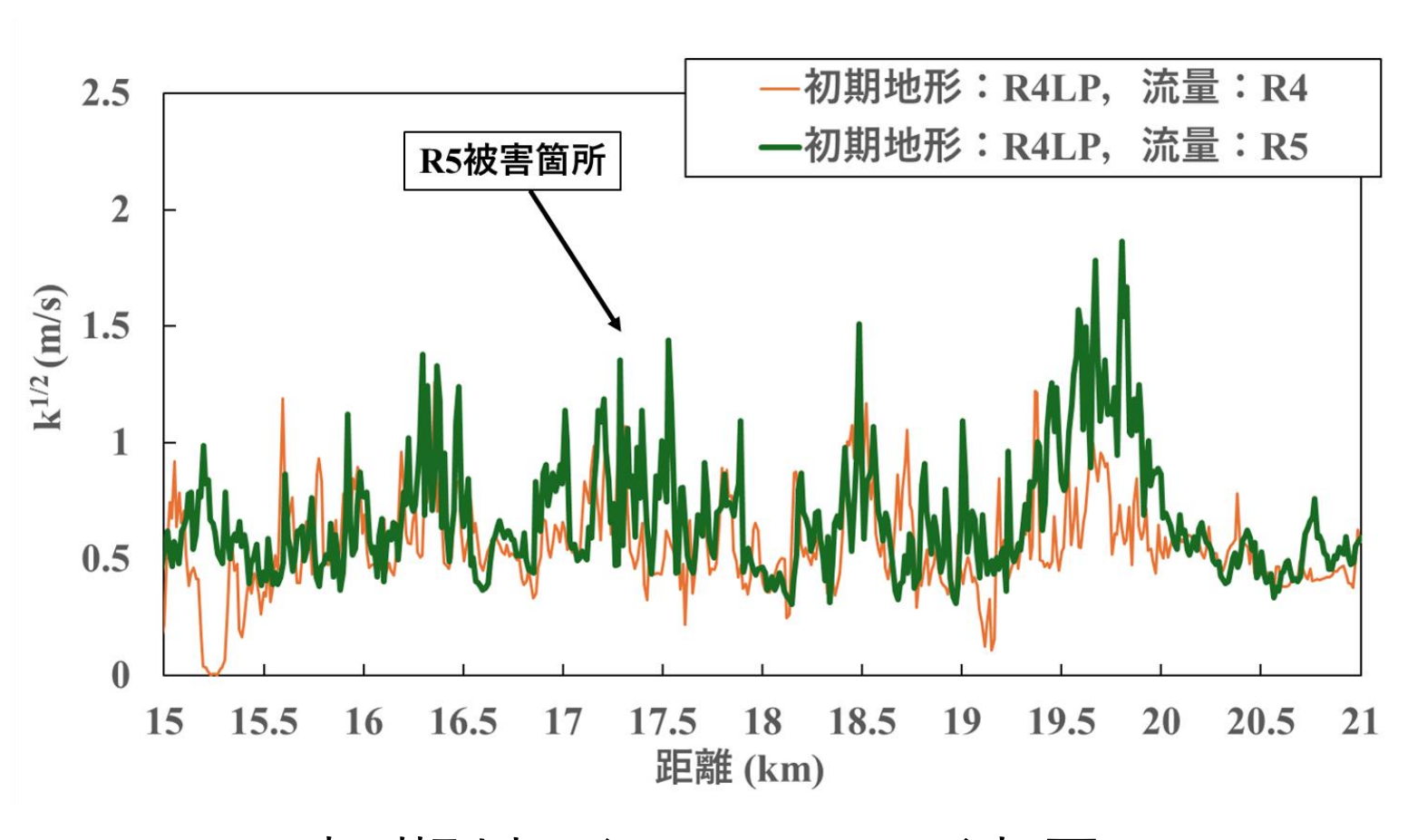
流量ハイドログラフについての検討



初期地形:R5ALB×流量:R4,R5

・初期地形についての検討





初期地形:R4LP×流量R4,R5

- R5洪水の流量を与えた場合に, 乱れ強度が高くなっている
- 水みちを考慮できないLPでは被災箇所 の乱れ強度の上昇が小さい

(水面下データが考慮できるALBでは 被災箇所の乱れエネルギーが高い)

- R5洪水では,流量低下時に被害箇所を含む約500m規模の広範な洗堀が発生していた.これはR5洪水 において、流れが護岸際に集中し、長時間継続的に土砂が流出したことに起因すると考えられる
- ALB地形データを用いたR5洪水時の乱れ強度の数値解析からR5洪水での被災箇所は危険箇所の一つ として抽出された。河岸が山付き、岩壁、樹木繁茂区間を除くと、乱れ強度から抽出された箇所は 過去、いずれも護岸、水制に何らかの変状が見られた箇所であった。R5洪水流量ハイドログラフの 方がR4洪水流量ハイドログラフに比べて危険度が高いことは説明できたが,R4洪水前はALB地形 データがないことから危険度が適切に評価できておらず、洪水前の地形による危険度の違いの評価 についてはさらなる検討が必要である.